

Der Komet 414P/STEREO im Jahre 2025

berechnet für den Standort Mitteldeutschland

Die Bahnelemente:

Periheldurchgang	2025-September-27.5199294
Bahnezentrizität	0.8116270
Periheldistanz	0.5263780 aE
große halbe Bahnachse	2.794339 aE
Umlaufzeit in Jahren	4.671182
Länge des aufsteigenden Knotens	257.789300 Grad
Perihellänge	210.728100 Grad
Bahnneigung	23.384200 Grad
Grundhelligkeit	19.0 mag.
Luminiszenzfaktor	4.00

erweiterte Helligkeitsparameter:

Zeitraum T-9999.0 bis T+9999.0: $m = 23.0 + 5.0 * \log d + 2.5 * 16.0 * \log r$

Details zur Sichtbarkeit

größte Sonnennähe:	0.52645 aE am 28.09.2025
größte Erdnähe :	0.97637 aE am 08.09.2025
größte Helligkeit:	12.3 am 27.09.2025

Grenzgröße der Analyse: 16.0

ab 08.09.2025 morgens sichtbar mit Helligkeit 15.9

positioniert im Sternbild CNC, Helligkeit 15.9

ab 15.09.2025 Übergang ins Sternbild LEO, Helligkeit 13.9

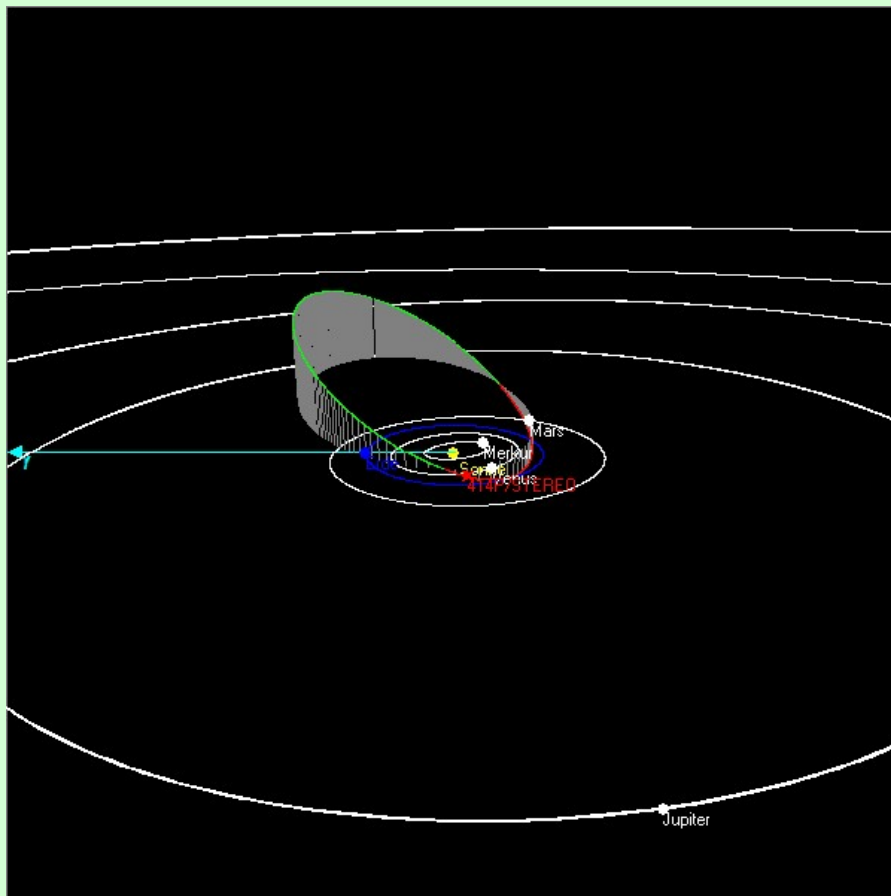
ab 25.09.2025 Übergang ins Sternbild SEX, Helligkeit 12.3 [Komet horizontnah beobachtbar]

ab 26.09.2025 unsichtbar mit Helligkeit 12.3 [Komet unbeobachtbar]

ab 01.10.2025 Übergang ins Sternbild LEO, Helligkeit 12.6 [Komet unbeobachtbar]

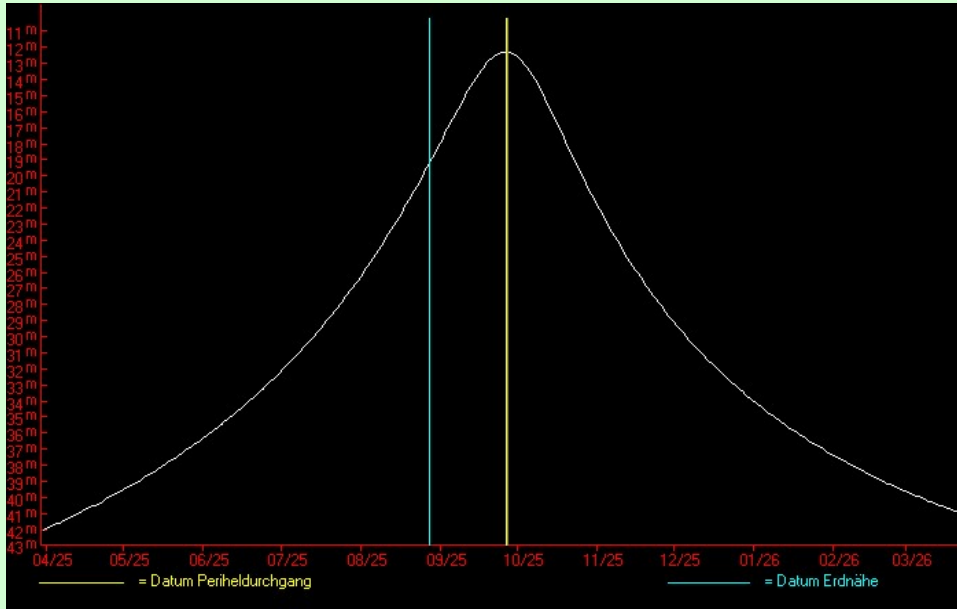
ab 09.10.2025 Übergang ins Sternbild CRT, Helligkeit 14.3 [Komet unbeobachtbar]

ab 13.10.2025 Übergang ins Sternbild VIR, Helligkeit 15.5 [Komet unbeobachtbar]

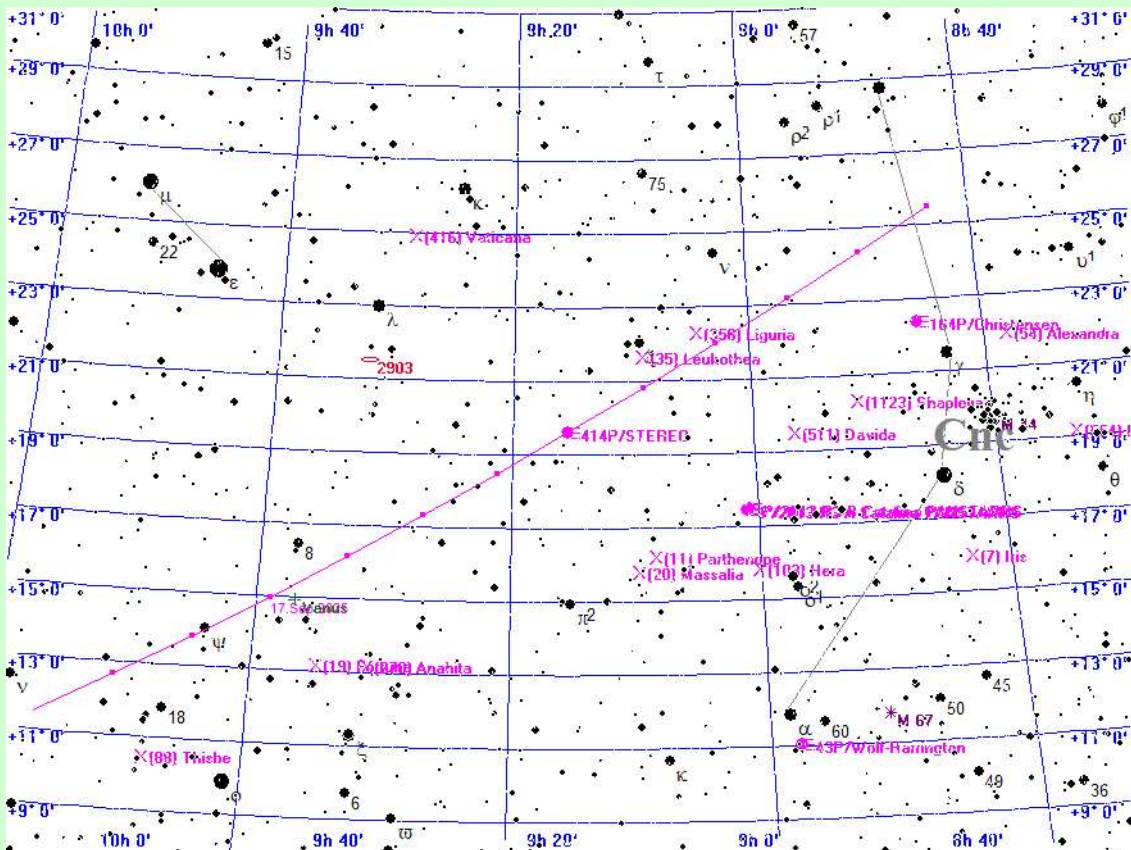


Die Bahn des Kometen 414P/STEREO

Der Komet 414P/STEREO im Jahre 2025 berechnet für den Standort Mitteldeutschland



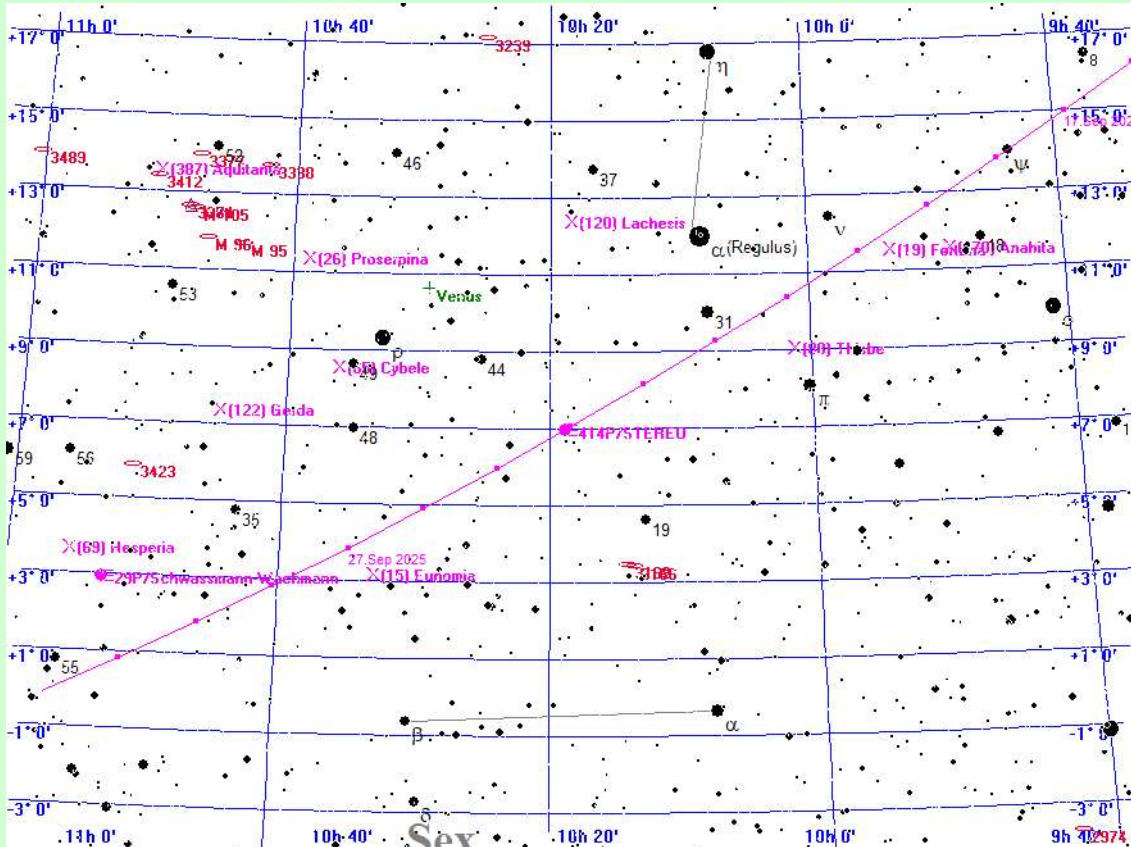
Die Lichtkurve des Kometen 414P/STEREO



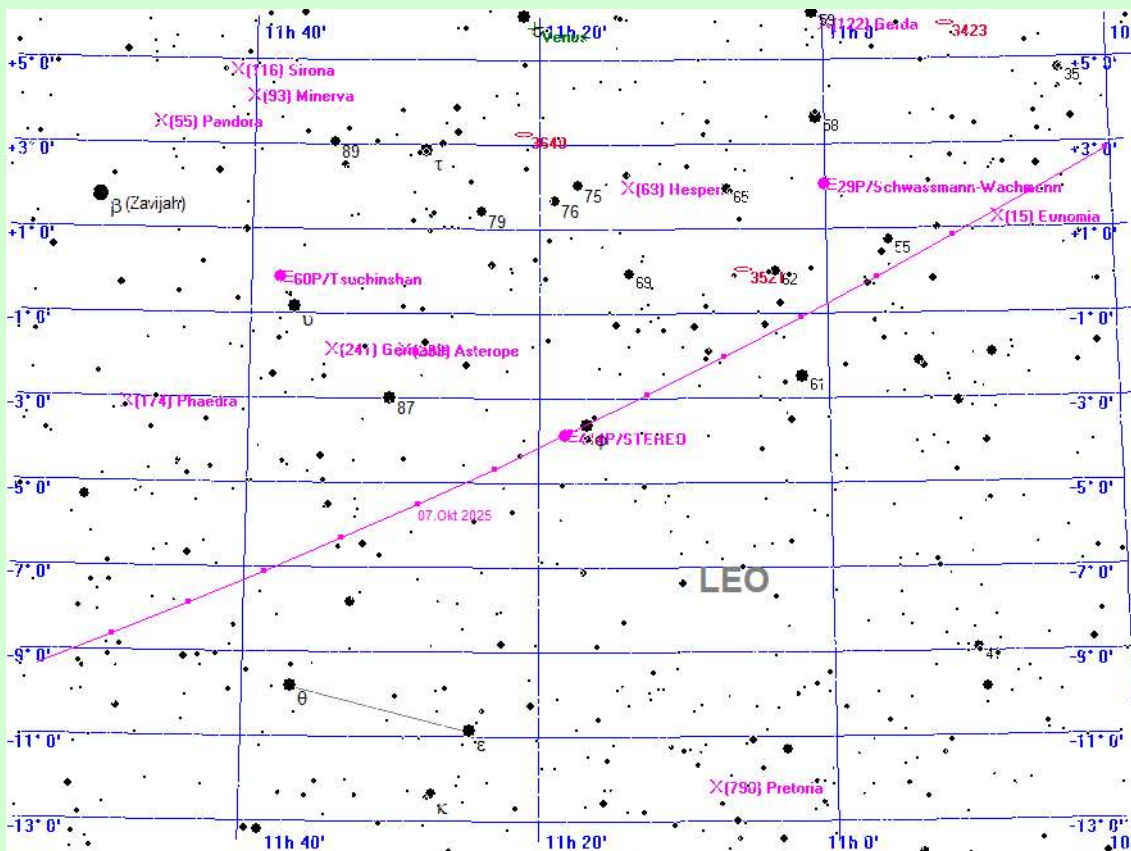
414P/STEREO am 13.9.2025

Der Komet 414P/STEREO im Jahre 2025

berechnet für den Standort Mitteldeutschland



414P/STEREO am 24.9.2025



414P/STEREO am 5.10.2025

Der Komet 414P/STEREO im Jahre 2025

berechnet für den Standort Mitteldeutschland

Ephemeride und Konjunktionen des Kometen 414P/STEREO

Datum	Rektaszens.	Deklination	r	Delta	Hell.	Aufg.	Untg.	T _{Opt.}	Höhe	Azi	Stb
Mo. 08.Sep 2025	8h43'34.6"	+25°27'52.7"	0.666 aE	0.976 aE	15.9	02:33	19:14	04:50	+18°	O	CNC
03:18 Konjunktion mit NGC 2623, Galaxie, Helligkeit 14.0, Größe 2.4', Distanz 1.4°											
Di. 09.Sep 2025	8h50' 6.6"	+24°19' 3.9"	0.654 aE	0.984 aE	15.6	02:44	19:09	04:52	+17°	O	CNC
Mi. 10.Sep 2025	8h56'31.9"	+23° 9'40.9"	0.642 aE	0.993 aE	15.3	02:54	19:03	04:54	+16°	O	CNC
04:54 Konjunktion mit NGC 2738, Galaxie, Helligkeit 13.9, Größe 1.4', Distanz 1.7°											
04:54 Konjunktion mit IC 2433, Galaxie, Helligkeit 15.0, Größe 0.8', Distanz 1.8°											
Do. 11.Sep 2025	9h 2'50.9"	+21°59'51.5"	0.631 aE	1.002 aE	15.0	03:04	18:58	04:56	+15°	O	CNC
03:46 Konjunktion mit NGC 2737, Galaxie, Helligkeit 14.9, Größe 0.9', Distanz 5.9'											
03:46 Konjunktion mit IC 2433, Galaxie, Helligkeit 15.0, Größe 0.8', Distanz 53.4'											
Fr. 12.Sep 2025	9h 9' 4.0"	+20°49'43.1"	0.620 aE	1.011 aE	14.7	03:14	18:53	04:57	+14°	O	CNC
03:54 Konjunktion mit NGC 2764, Galaxie, Helligkeit 13.6, Größe 1.5', Distanz 54.3'											
04:57 Konjunktion mit IC 2453, Galaxie, Helligkeit 15.0, Distanz 1.3°											
Sa. 13.Sep 2025	9h15'11.6"	+19°39'23.1"	0.609 aE	1.021 aE	14.4	03:23	18:48	04:59	+13°	O	CNC
04:03 Konjunktion mit NGC 2790, Galaxie, Helligkeit 14.6, Größe 0.4', Distanz 22.0'											
04:03 Konjunktion mit IC 2457, Galaxie, Helligkeit 14.0, Größe 1.2', Distanz 39.5'											
So. 14.Sep 2025	9h21'14.2"	+18°28'58.3"	0.599 aE	1.032 aE	14.2	03:32	18:44	05:01	+13°	O	CNC
04:11 Konjunktion mit NGC 2803, Galaxie, Helligkeit 15.1, Größe 1.2', Distanz 1.5°											
04:11 Konjunktion mit IC 2454, Galaxie, Helligkeit 14.0, Größe 1.2', Distanz 1.6°											
Mo. 15.Sep 2025	9h27'12.0"	+17°18'35.4"	0.590 aE	1.044 aE	13.9	03:41	18:39	05:03	+12°	O	LEO
05:03 Konjunktion mit NGC 2923, Galaxie, Helligkeit 15.2, Größe 0.3', Distanz 1.8°											
04:20 Konjunktion mit BD+17 2078, Helligkeit 6.3, Distanz 49.9'											
Di. 16.Sep 2025	9h33' 5.6"	+16° 8'20.8"	0.581 aE	1.055 aE	13.7	03:50	18:34	05:05	+11°	O	LEO
04:28 Konjunktion mit NGC 2923, Galaxie, Helligkeit 15.2, Größe 0.3', Distanz 57.1'											
05:05 Konjunktion mit 8 LEO, Helligkeit 5.7, Distanz 50.9'											
Mi. 17.Sep 2025	9h38'55.4"	+14°58'20.5"	0.572 aE	1.068 aE	13.4	03:58	18:30	05:07	+10°	O	LEO
04:35 Konjunktion mit NGC 2954, Galaxie, Helligkeit 13.3, Größe 1.7', Distanz 11.6'											
Do. 18.Sep 2025	9h44'41.7"	+13°48'40.4"	0.564 aE	1.081 aE	13.2	04:06	18:26	05:09	+ 9°	O	LEO
05:09 Konjunktion mit NGC 3020, Galaxie, Helligkeit 12.9, Größe 3.0', Distanz 1.3°											
05:09 Konjunktion mit IC 555, Galaxie, Helligkeit 14.0, Größe 1.3', Distanz 1.6°											
04:43 Konjunktion mit Psi LEO, Helligkeit 5.4, Distanz 40.3'											
Fr. 19.Sep 2025	9h50'24.9"	+12°39'26.1"	0.557 aE	1.094 aE	13.0	04:14	18:21	05:11	+ 8°	O	LEO
04:51 Konjunktion mit NGC 3024, Galaxie, Helligkeit 13.8, Größe 2.0', Distanz 26.1'											
05:11 Konjunktion mit IC 569, Galaxie, Helligkeit 15.0, Größe 0.2', Distanz 1.5°											
04:51 Konjunktion mit 23 LEO, Helligkeit 6.5, Distanz 39.2'											
Sa. 20.Sep 2025	9h56' 5.3"	+11°30'42.9"	0.551 aE	1.108 aE	12.9	04:22	18:17	05:12	+ 7°	O	LEO
05:12 Konjunktion mit NGC 3069, Galaxie, Helligkeit 15.0, Größe 0.8', Distanz 50.8'											
04:58 Konjunktion mit IC 576, Galaxie, Helligkeit 15.0, Distanz 35.0'											
So. 21.Sep 2025	10h 1'43.3"	+10°22'36.1"	0.545 aE	1.122 aE	12.7	04:29	18:13	05:14	+ 6°	O	LEO
05:05 Konjunktion mit NGC 3070, Galaxie, Helligkeit 13.2, Größe 1.5', Distanz 1.2°											
05:05 Konjunktion mit IC 584, Galaxie, Helligkeit 15.0, Größe 0.3', Distanz 58.0'											
Mo. 22.Sep 2025	10h 7'19.1"	+ 9°15'10.6"	0.540 aE	1.137 aE	12.6	04:36	18:09	05:16	+ 6°	O	LEO
05:12 Konjunktion mit NGC 3130, Galaxie, Helligkeit 14.3, Größe 1.0', Distanz 58.1'											
05:12 Konjunktion mit IC 596, Galaxie, Helligkeit 15.0, Größe 0.8', Distanz 1.1°											
05:12 Konjunktion mit 31 LEO, Helligkeit 4.4, Distanz 59.9'											
Di. 23.Sep 2025	10h12'53.0"	+ 8° 8'31.0"	0.535 aE	1.151 aE	12.5	04:44	18:06	05:18	+ 5°	O	LEO
Mi. 24.Sep 2025	10h18'25.1"	+ 7° 2'42.0"	0.532 aE	1.167 aE	12.4	04:51	18:02	05:20	+ 4°	O	LEO
Do. 25.Sep 2025	10h23'55.7"	+ 5°57'47.6"	0.529 aE	1.182 aE	12.3	04:57	17:58	05:21	+ 3°	O	SEX